

## Микросхема приемопередатчика с интерфейсом RS-485 К5559ИН26У



ТП – технологическая перемычкаГГ – год выпускаНН – неделя выпуска

#### Основные характеристики микросхемы:

- Напряжение источника питания, U<sub>CC</sub>, от 4,5 до 5,5 В;
- Скорость передачи данных не более 2500 кБит/с;
- Ограничение скорости нарастания/спада выходного сигнала передатчика для уменьшения уровня электромагнитных помех, а также отражений при неидеально согласованной шине;
- Входной импеданс приемника соответствует 1/8 единицы нагрузки, что допускает параллельное включение до 256 эквивалентных приемопередатчиков на шине;
- Отказоустойчивый к наличию короткого замыкания и обрыву приемник, не требующий использования внешних отказоустойчивых резисторов;
- Тепловое сопротивление кристалл-корпус не более 24,3 °C/Вт;
- Масса микросхем не более 0,75 г;
- Температурный диапазон от минус 60 °C до плюс 125 °C.

#### Тип корпуса:

– 10-выводной металлокерамический корпус Н02.8-1В.

### Общее описание и область применения микросхемы

Микросхемы интегральные К5559ИН26У (далее – микросхемы) предназначены для использования в аппаратуре специального назначения в качестве приемопередатчика с интерфейсом RS-485.

## 1 Структурная блок-схема

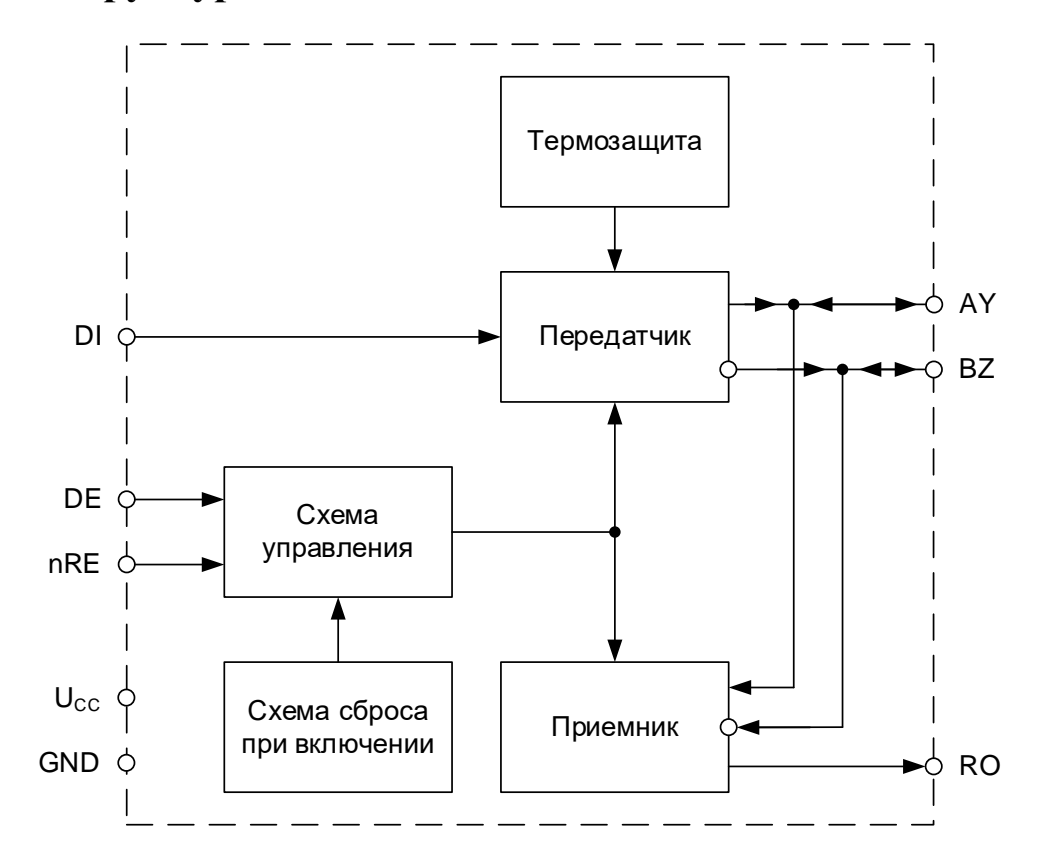


Рисунок 1 – Структурная блок-схема

## 2 Условное графическое обозначение

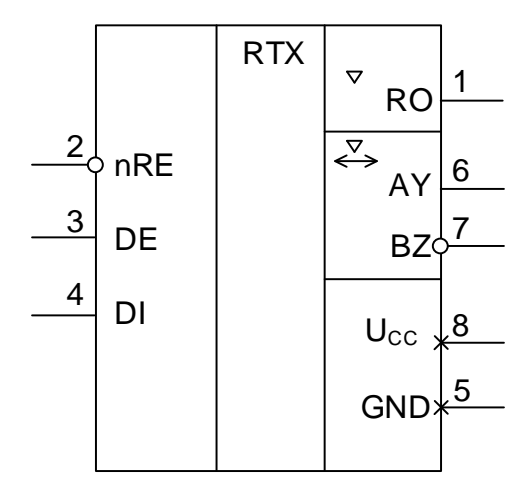


Рисунок 2 – Условное графическое обозначение

## 3 Описание выводов

Таблица 1 — Описание выводов

Номер вывода	Обозначение вывода	Функциональное назначение вывода		
1	RO	Выход	Выход приемника	
2	nRE	Вход	Включение/выключение приемника: «0» – приемник включен; «1» – приемник выключен	
3	DE	Вход	Включение/выключение передатчика: «0» – передатчик выключен; «1» – передатчик включен	
4	DI	Вход	Вход передатчика	
5	GND	GND	Общий	
6	AY	Вход/выход	Прямой выход передатчика /прямой вход приемника	
7	BZ	Вход/выход	Инверсный выход передатчика /инверсный вход приемника	
8	Ucc	PWR	Питание	

#### 4 Указания по применению и эксплуатации

При ремонте аппаратуры и измерении параметров микросхем замену микросхем необходимо проводить только при отключенных источниках питания.

Инструмент для пайки (сварки) и монтажа не должен иметь потенциал, превышающий 0,3 В относительно шины общий.

Запрещается подведение каких-либо электрических сигналов (в том числе шин питание и общий) к выходу RO, если он не используется.

Неиспользуемые логические входы nRE, DE и DI необходимо соединить с шиной общий или с шиной питание в соответствии с таблицами истинности.

Конденсаторы, подключаемые к выводу питания, необходимо располагать как можно ближе к корпусу микросхемы.

Порядок подачи и снятия напряжении питания и входных сигналов на микросхему:

- подача (включение микросхемы): общий, питание, входные сигналы или одновременно;
  - снятие (выключение микросхемы): одновременно или в обратном порядке.

Допускается подача входных напряжений на входы/выходы AY и BZ при отключенном напряжении питания.

Типовая схема включения микросхем приведена в разделе 7 «Типовая схема включения».

### 5 Описание функционирования микросхемы

#### 5.1 RS-485 передатчик

Выходы передатчика имеют ограничение скорости нарастания/спада выходного сигнала для уменьшения уровня электромагнитных помех, а также отражений при неидеально согласованной шине. Таким образом, обеспечивается стабильная передача информации.

В схеме реализованы два механизма защиты выходов передатчика:

- по максимальному выходному току;
- по рассеиваемой мощности.

Защита активизируется в случаях неправильного использования схемы приемопередатчика: замыкания выходов передатчика на шины питания и/или общий, а также при возникновении конфликтных ситуаций – попытки одновременной передачи данных несколькими приемопередатчикам).

Схема термозащиты срабатывает при температуре кристалла не менее 160 °C и переводит схему передатчика в состояние «Выключено».

Таблица истинности работы передатчика микросхемы приведена в таблице 2.

Tr ~	^	T ~		_	
Габлица	· / —	Таблица	истинности	nanothi	передатчика
таолица	_	таолица	nerminoem	paooin	передат итка

	Входы	Выходы	
nRE	DE	DI	AY – BZ
X	1	1	≥ U <sub>O_D</sub>
X	1	0	$\leq$ $ U_{O\_D}$
0	0	X	Z
1	0	X	Z. Режим «Выключено»

Примечание – Логический уровень на выводе:

- 1 логическая «1»;
- 0 логический «0»;
- X любое значение: логическая «1» или логический «0»;
- Z высокий импеданс (высокое выходное сопротивление)

### 5.2 RS-485 приемник

Выход приемника находится в состоянии высокого логического уровня, когда входы приемника замкнуты или не подключены (обрыв), или, когда они подключены к согласованной шине, на которой все подключенные передатчики находятся в состоянии с высоким выходным сопротивлением. Данная особенность достигается смещением входного дифференциального порогового напряжения приемника в диапазон от минус 50 до минус 200 мВ, что не противоречит требованиям стандарта. Благодаря этому не требуется использование внешних (fail-safe) резисторов.

Таблица истинности работы приемника микросхемы приведена в таблице 3.

Z. Режим «Выключено»

Входы			Выходы
nRE	DE	AY – BZ	RO
0	X	≥-50 мВ	1
0	X	≤-200 mB	0
0	X	Обрыв/замыкание	1
1	1	X	Z

Таблица 3 – Таблица истинности работы приемника

Примечание – Логический уровень на выводе:

X

1 - логическая «1»;

1

- 0 логический «0»:
- X любое значение: логическая «1» или логический «0»;
- Z высокий импеданс (высокое выходное сопротивление)

Приемники содержат входной фильтр дополнительно к наличию входного гистерезиса. Это повышает невосприимчивость приемника к быстро меняющимся входным дифференциальным сигналам, а также сигналам с очень медленными скоростями нарастания/спада.

Приемник микросхемы имеет встроенное смещение, поэтому для задания смещения в линии не требуется использование внешних резисторов.

Входной импеданс приемника RS-485 по стандарту не должен быть меньше 12 кОм (одна единица нагрузки), стандартный передатчик способен работать на 32 единицы нагрузки. Входной импеданс микросхем составляет 1/8 единицы нагрузки (не менее 96 кОм), что позволяет параллельно подключить к шине до 256 эквивалентных приемопередатчиков. Также допустима комбинация на шине данных микросхем с приемопередатчиками, имеющими другой входной импеданс.

#### 5.3 Микросхема в режиме «Выключено» (Shutdown)

Подача на вход DE логического «0» при подаче на вход nRE логической «1» переводит микросхему в режим «Выключено» с пониженным током потребления. Микросхема не переходит в этот режим, если время удержания комбинации DE = «0» и nRE = «1» на входах меньше 50 нс. Для гарантированного переключения в режим «Выключено» время удержания комбинации DE = «0» и nRE = «1» на входах должно быть не менее 700 нс.

### 6 Временные диаграммы

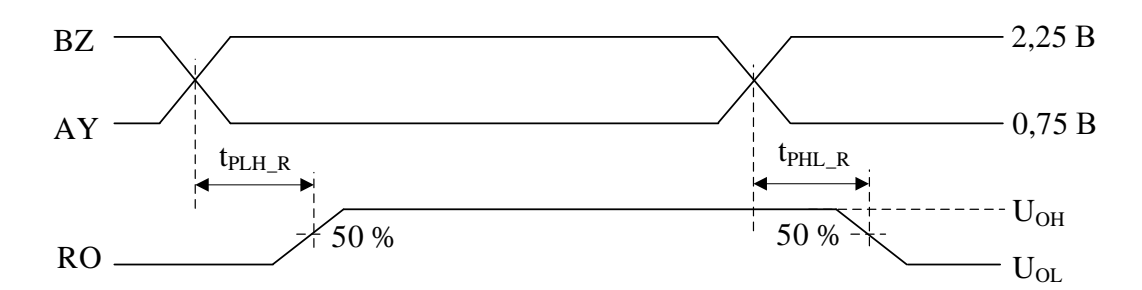


Рисунок 3 — Временная диаграмма при измерении t<sub>PLH\_R</sub> и t<sub>PHL\_R</sub>

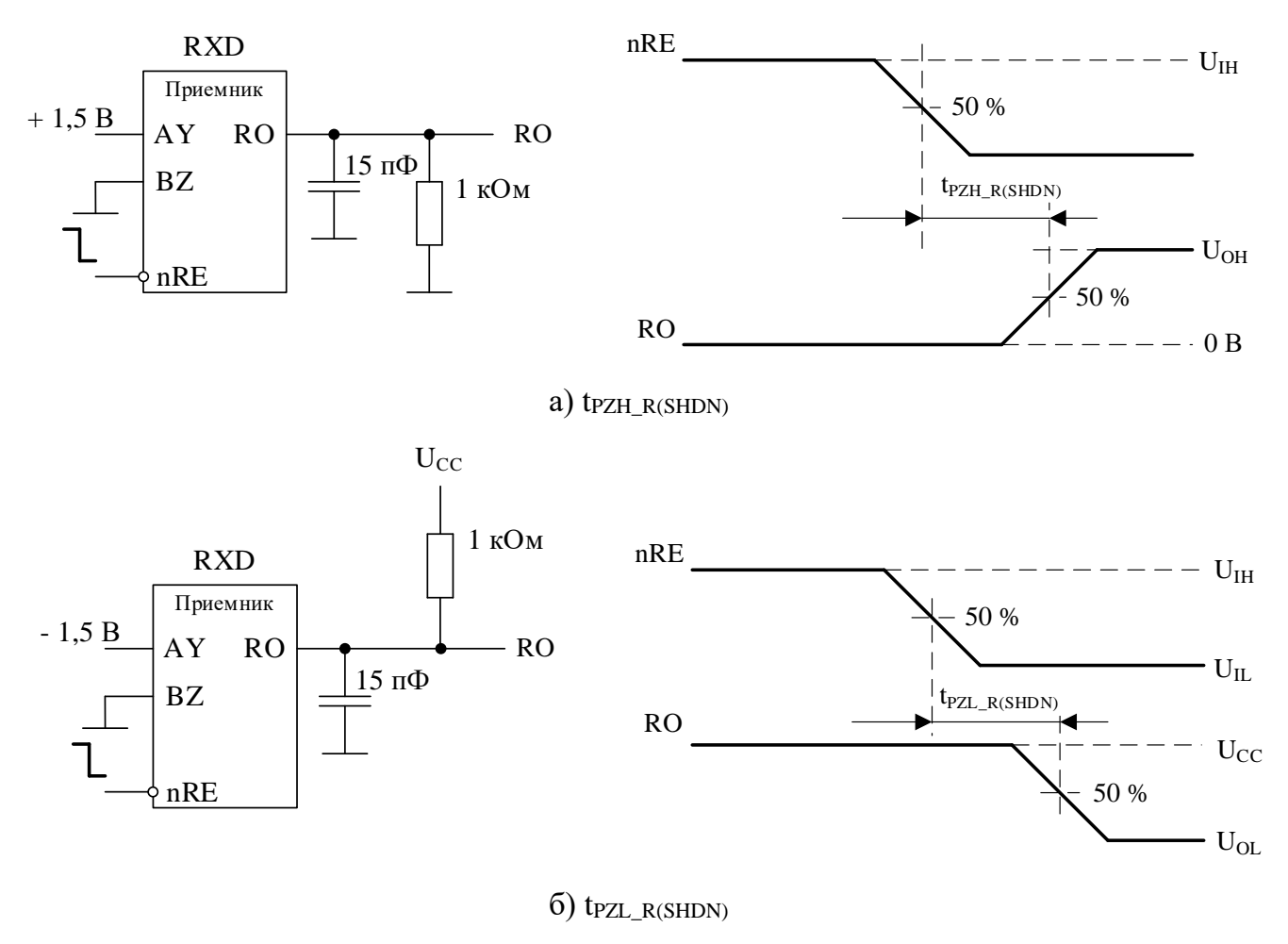


Рисунок 4 — Условные схемы включения и временные диаграммы при измерении

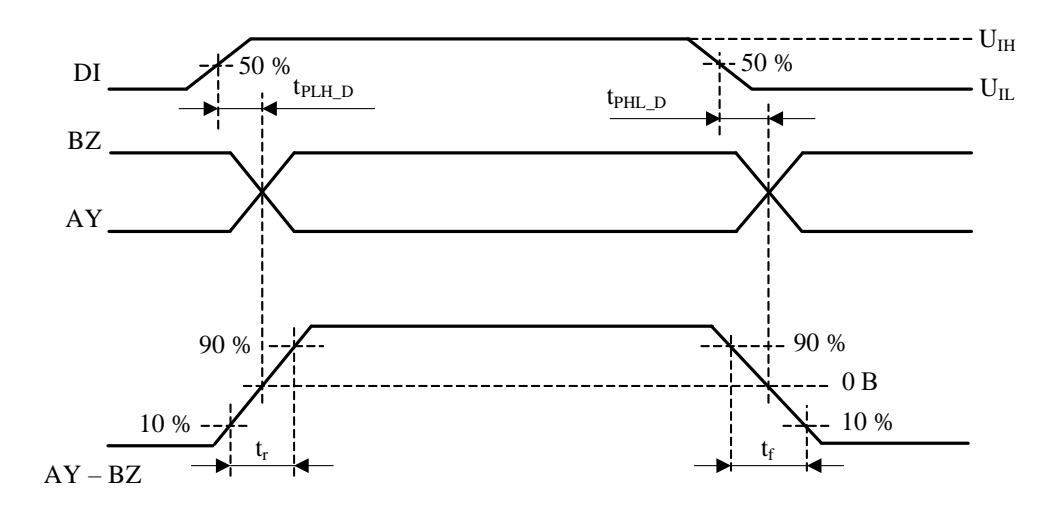


Рисунок 5 — Временная диаграмма при измерении  $t_{PLH\_D}$ ,  $t_{PHL\_D}$ ,  $t_r$  и  $t_f$ 

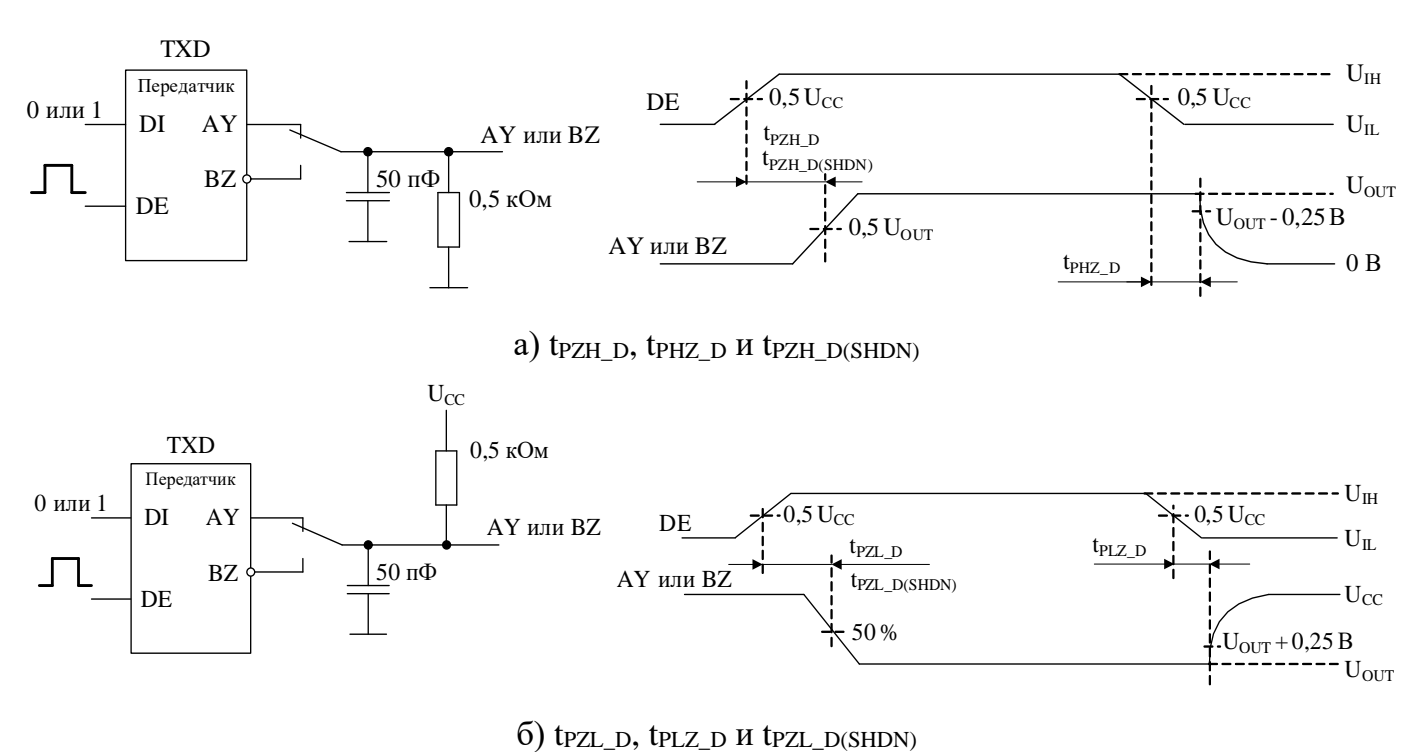
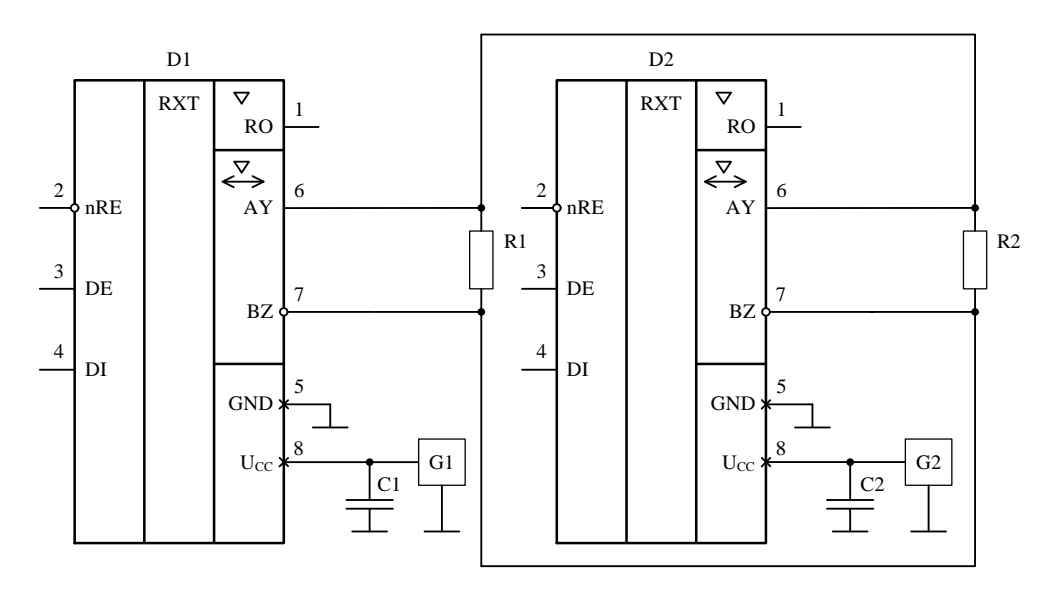


Рисунок 6 – Условные схемы включения и временные диаграммы при измерении

#### 7 Типовая схема включения

Максимальная длина шины по стандарту RS-485 составляет 1 200 м. В случае превышения данной длины следует использовать повторители.



C1, C2 — конденсаторы емкостью не менее 0,1 мк $\Phi$  ± 20 %;

D1, D2 – микросхема К5559ИН26У;

G1, G2 – источники напряжения питания 4,5-5,5 В;

R1, R2 – резисторы сопротивлением 120 Ом.

Микросхемы должны использоваться в линии передачи, согласованной с обоих концов резисторами сопротивлением 120 Ом.

Рисунок 7 — Типовая схема включения микросхем без внешнего смещения линии (RS-485)

### 8 Типовые зависимости

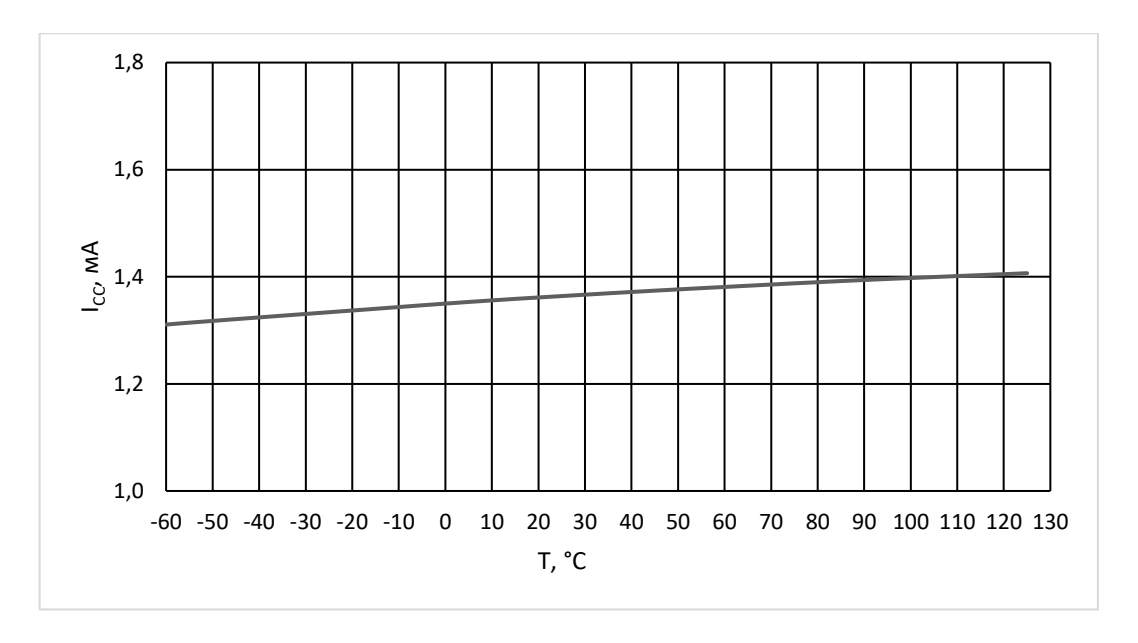


Рисунок 8 — Зависимость тока потребления (без нагрузки)  $I_{CC}$  от температуры при  $U_{CC}$  = 5,5 B (nRE= «0», DE= «1»)

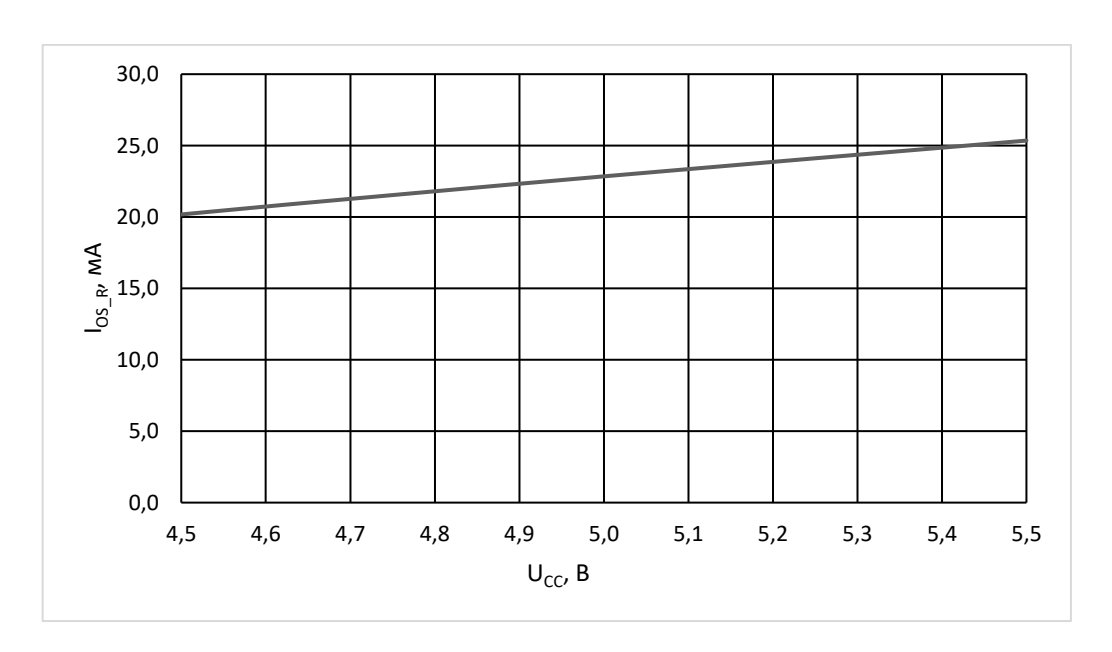


Рисунок 9 — Зависимость тока короткого замыкания верхнего плеча выхода приемника  $I_{OS\_R}$  от напряжения источника питания при  $T=25~^{\circ}C$ 

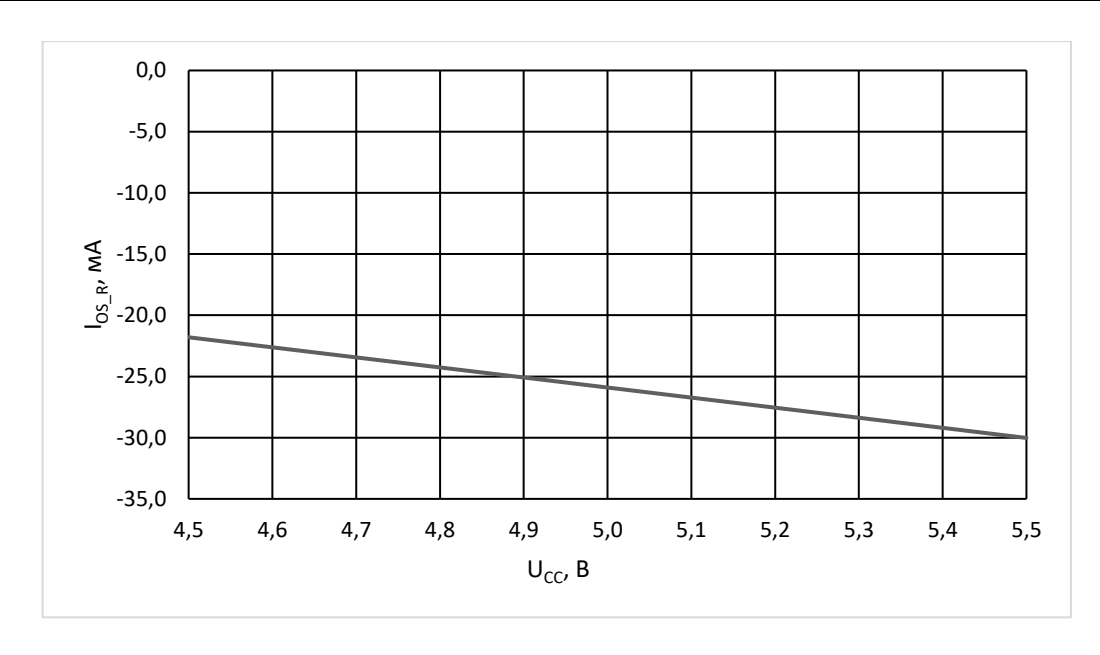


Рисунок 10-3ависимость тока короткого замыкания нижнего плеча выхода приемника  $I_{OS\_R}$  от напряжения источника питания при  $T=25~^{\circ}C$ 

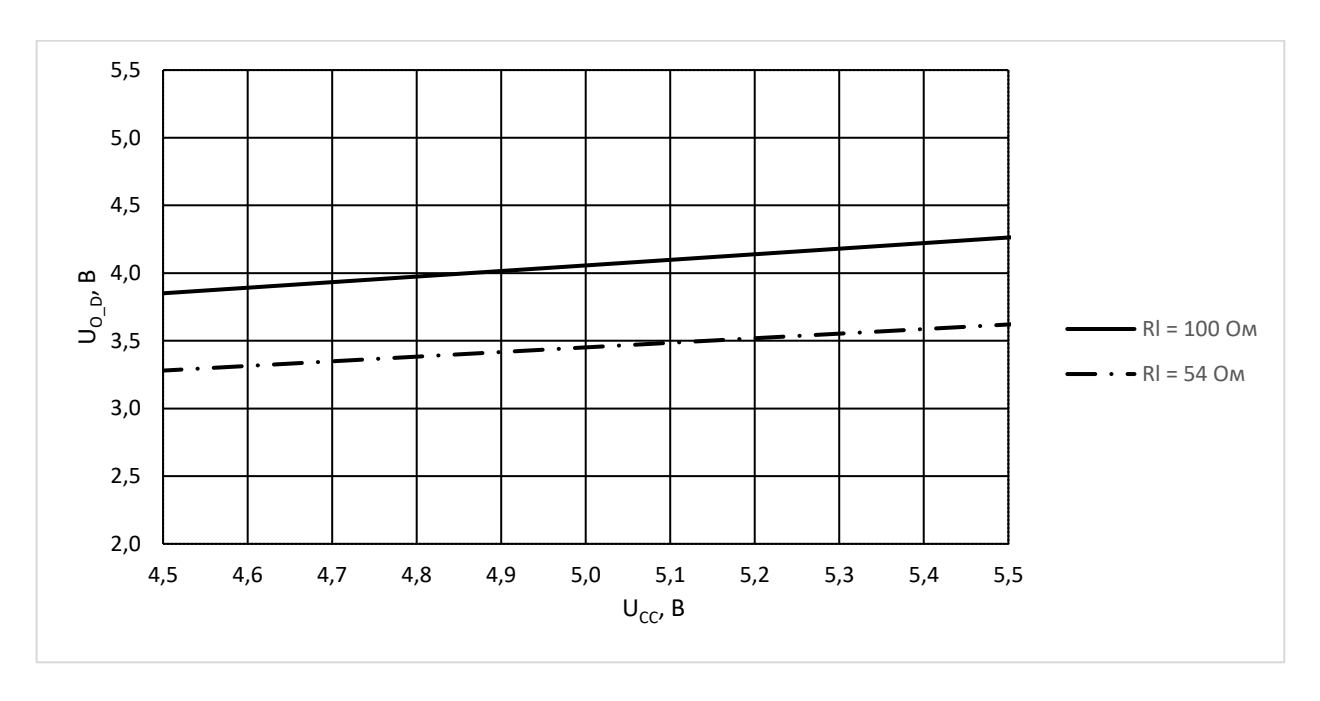


Рисунок 11 — Зависимость выходного дифференциального напряжения передатчика  $U_{O\_D}$  от напряжения источника питания при  $T=25~^{\circ}C$ 

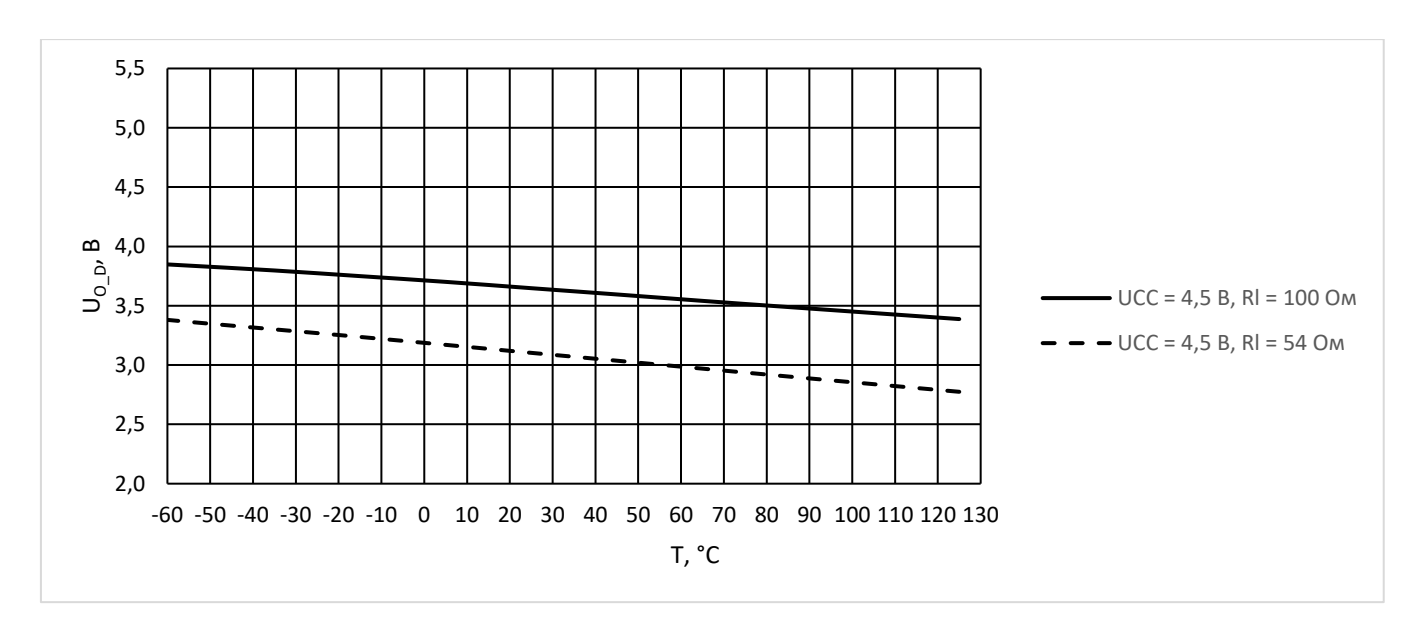


Рисунок 12 — Зависимость выходного дифференциального напряжения передатчика  $U_{O\_D}$  от температуры при  $U_{CC}$  = 4,5 B

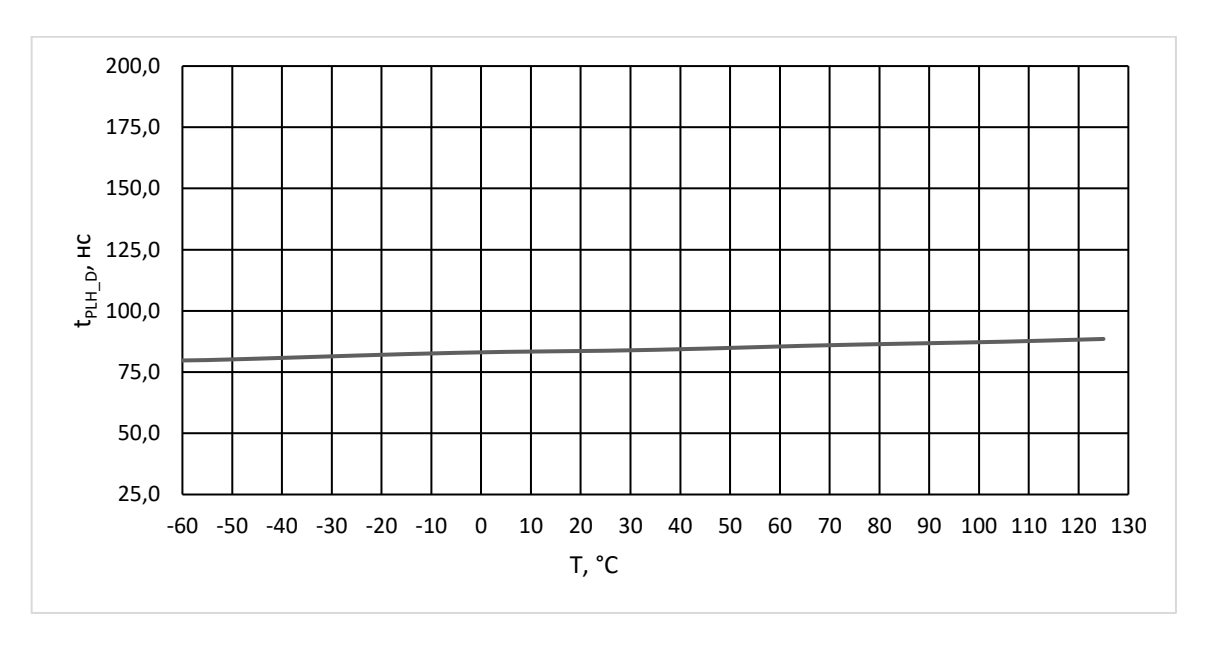


Рисунок 13 — Зависимость времени задержки распространения сигнала передатчика при включении  $t_{PLH\_D}$  от температуры при  $U_{CC}$  = 4,5 B

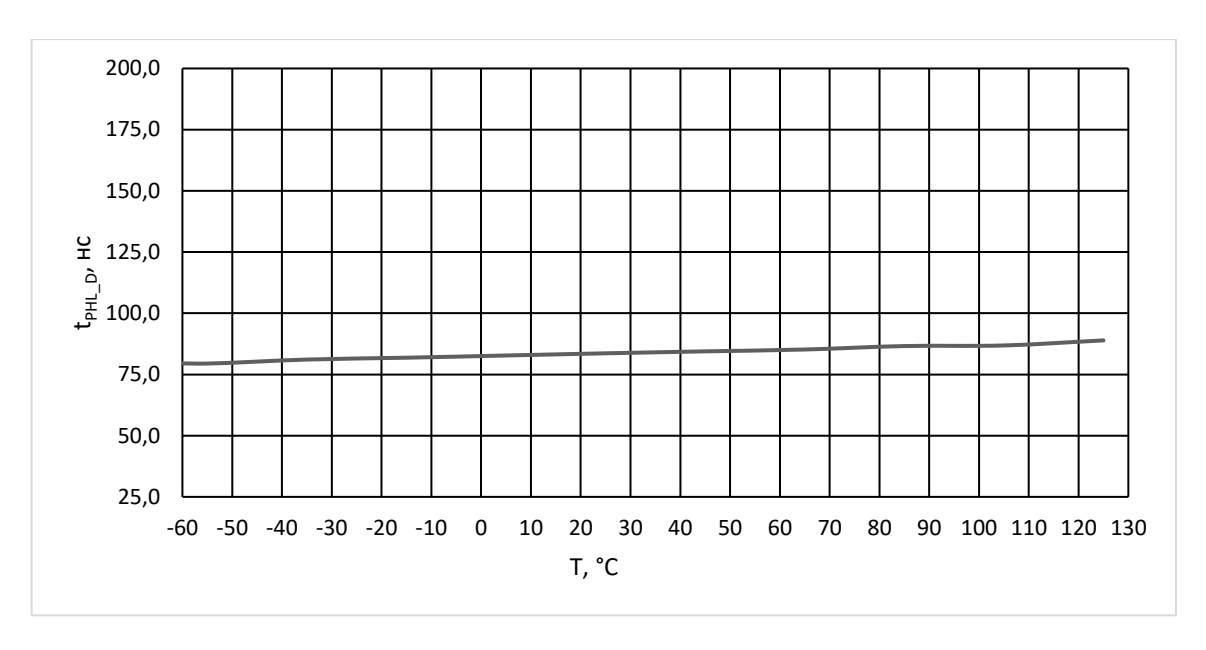


Рисунок 14 - 3ависимость времени задержки распространения сигнала передатчика при выключении  $t_{PHL}$  D от температуры при  $U_{CC} = 4,5$  B

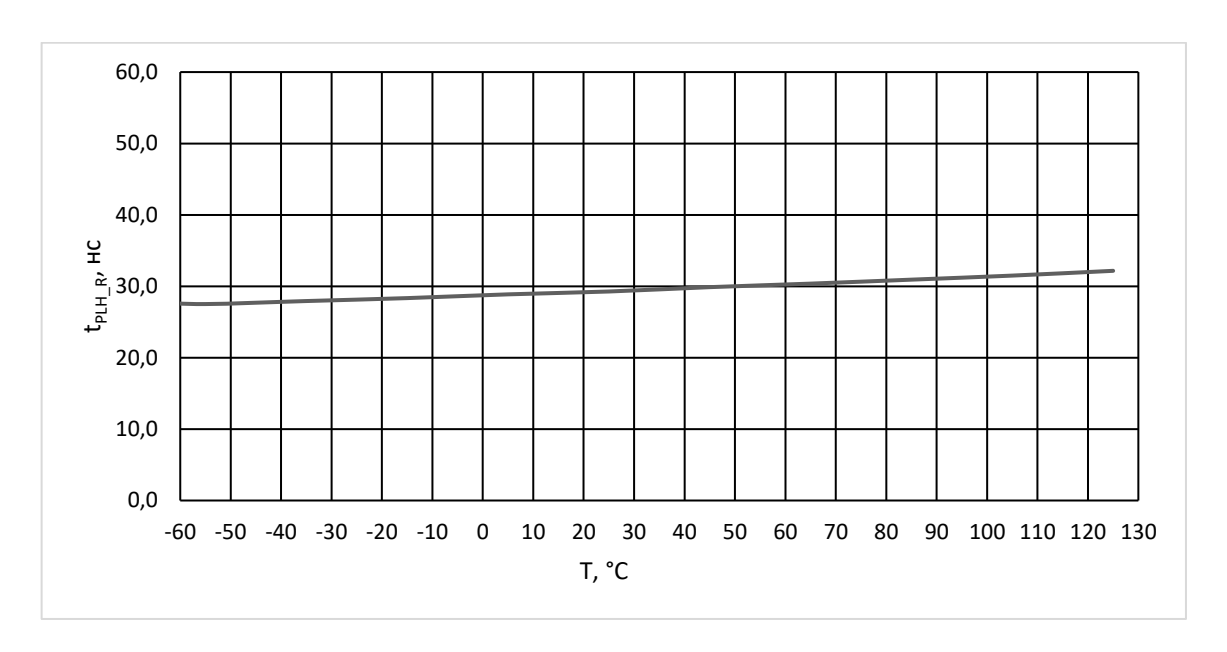


Рисунок 15 — Зависимость времени задержки распространения сигнала приемника при выключении  $t_{PLH\_R}$  от температуры при  $U_{CC}$  = 4,5 B

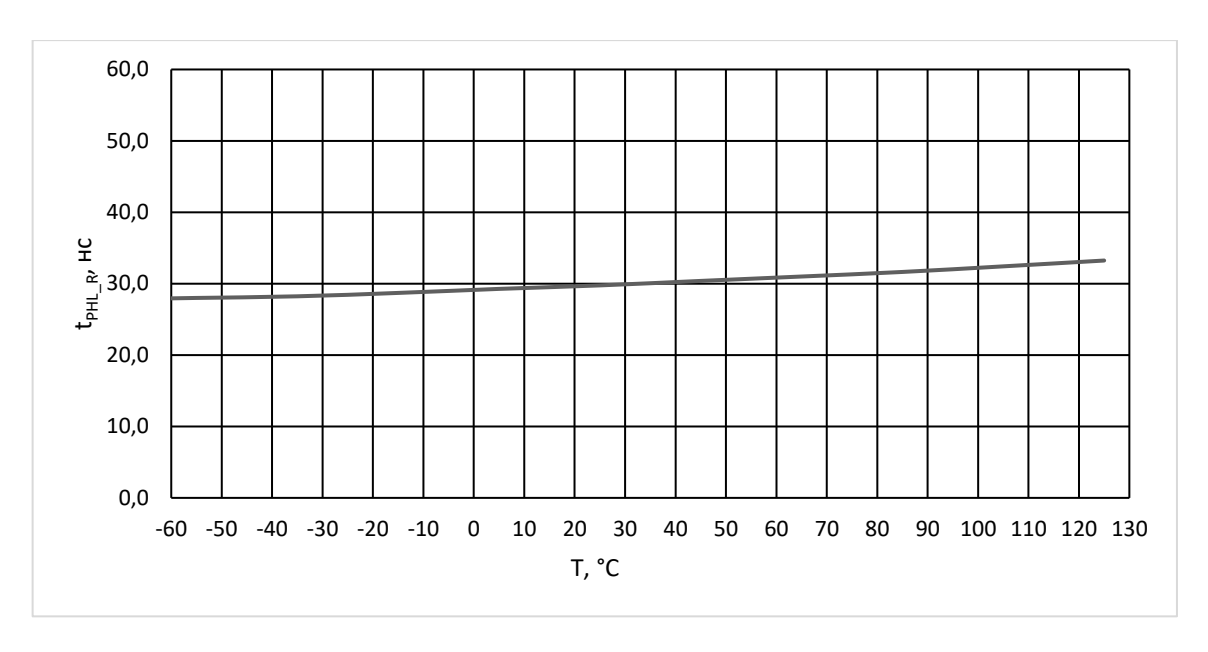


Рисунок 16-3ависимость времени задержки распространения сигнала приемника при включении  $t_{PHL\_R}$  от температуры при  $U_{CC}=4,5~B$ 

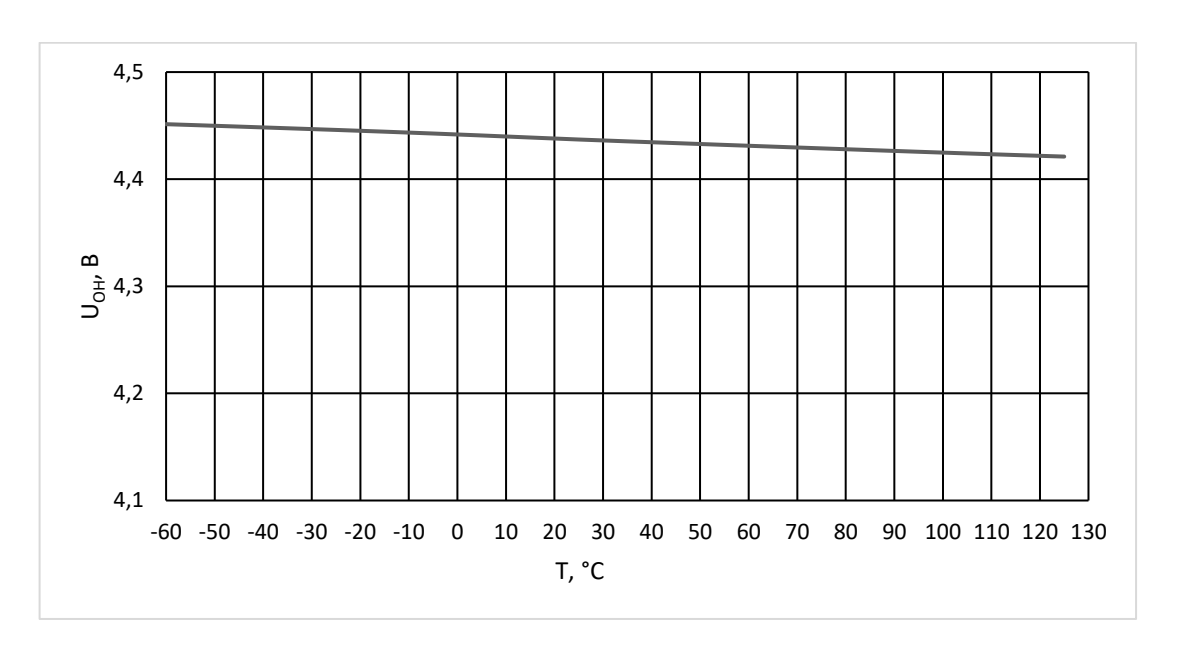


Рисунок 17 — Зависимость выходного напряжения высокого уровня приемника  $U_{OH}$  от температуры при  $U_{CC}$  = 4,5 B,  $I_{OH}$  = - 1 мA

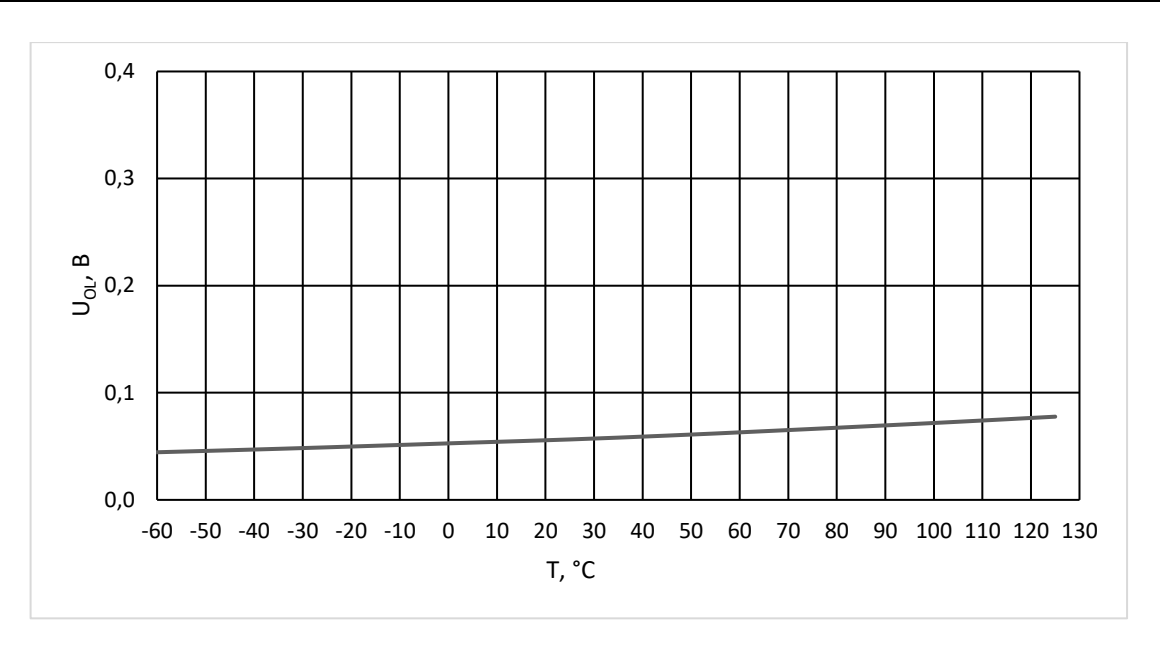


Рисунок 18 — Зависимость выходного напряжения низкого уровня приемника  $U_{OL}$  от температуры при  $U_{CC}$  = 4,5 B,  $I_{OL}$  = 1 мA

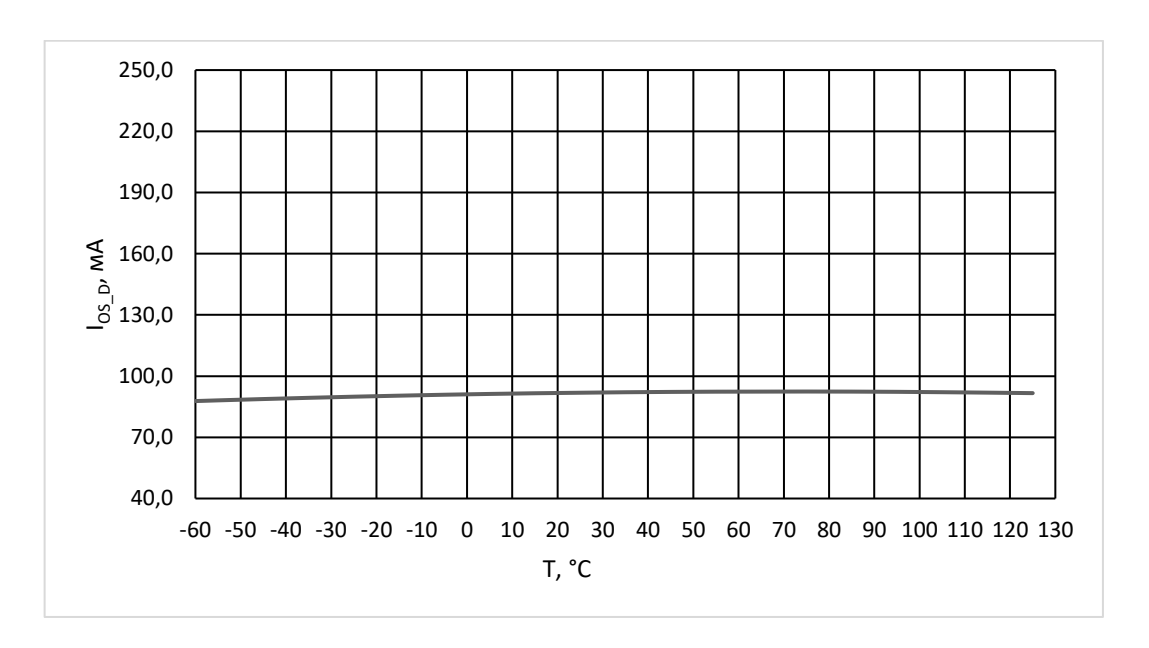


Рисунок 19 — Зависимость тока короткого замыкания выхода передатчика  $I_{OS\_D}$  от температуры при  $U_{AY}(U_{BZ})=12~B,~U_{CC}=5,5~B$ 

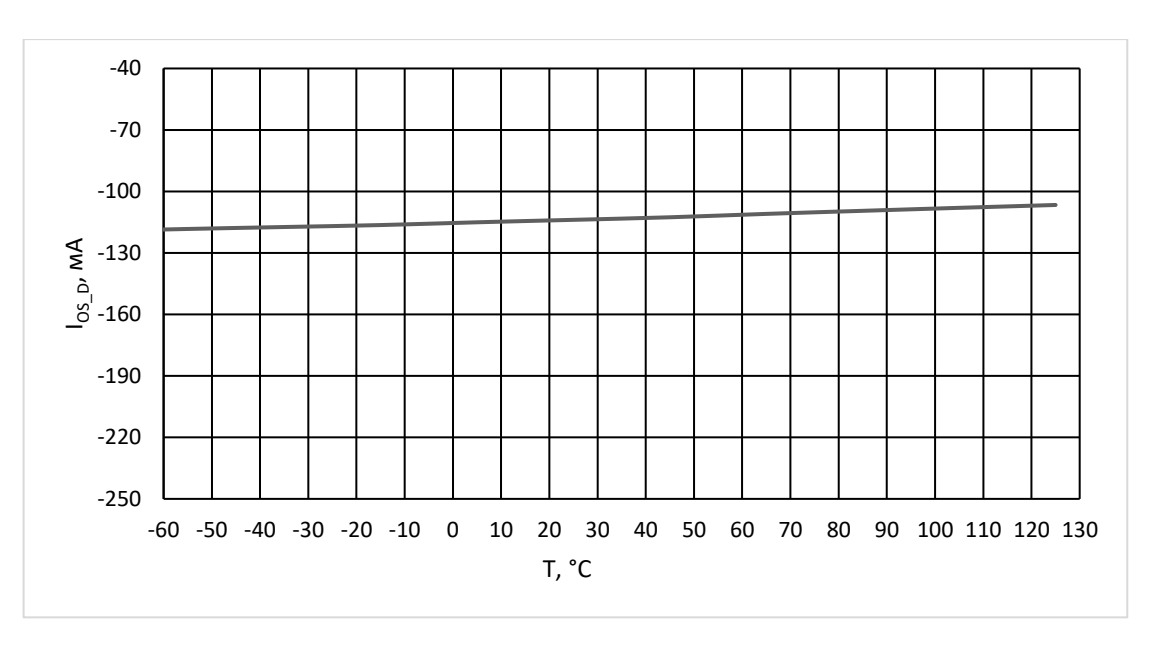


Рисунок 20-3ависимость тока короткого замыкания выхода передатчика  $I_{OS\_D}$  от температуры при  $U_{AY}(U_{BZ})=-7\,$  B,  $U_{CC}=5,5\,$  B

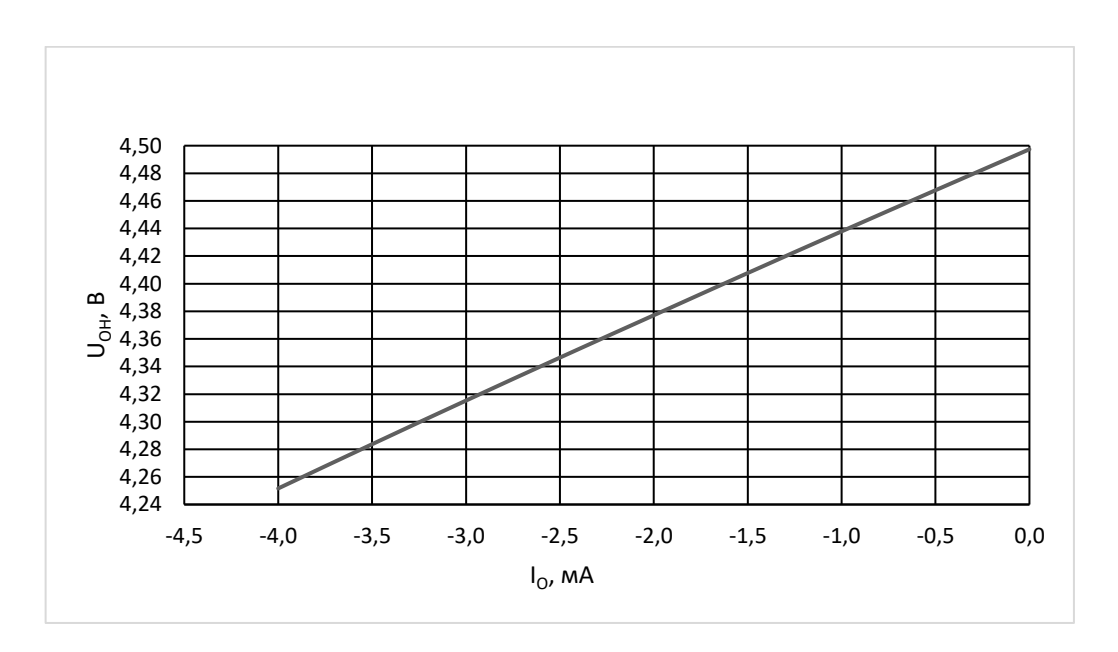


Рисунок 21-3ависимость выходного напряжения высокого уровня приемника  $U_{OH}$  от выходного тока высокого уровня  $I_{OH}$  при  $U_{CC}=4,5$  B, T=25 °C

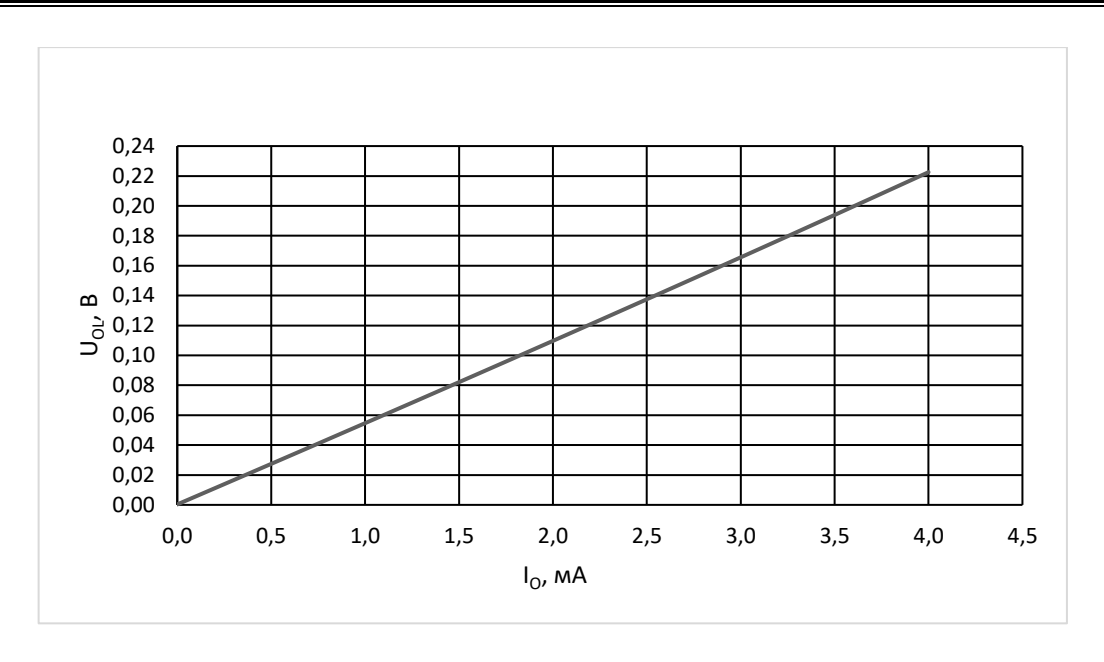


Рисунок 22 — Зависимость выходного напряжения низкого уровня приемника  $U_{OL}$  от выходного тока низкого уровня  $I_{OL}$  при  $U_{CC}$  = 4,5 B, T = 25 °C

## 9 Электрические параметры микросхемы

Таблица 4 – Электрические параметры микросхем при приемке и поставке

		1		
Наименование параметра,	юе ние ра	Норма па	раметра	rypa °C
единица измерения, режим измерения	Буквенное обозначение параметра	не	не более	Температура среды, °С
Выходное дифференциальное напряжение				
передатчика, В,				
при: $4,5 \le U_{CC} \le 5,5$ В,				
при: $R_L = 100 \text{ Om};$	$U_{\mathrm{OD}}$	3,0	$U_{CC}$	
$R_L = 54 \text{ Om}$		2,0		
Изменение выходного дифференциального	<b>AT</b> T		0.2	
напряжения передатчика, В	$\Delta U_{\mathrm{OD}}$	_	0,2	
Выходное синфазное напряжение передатчика, В,				
при: $R_L = 100 \text{ OM},$	$U_{OC}$	_	3	
$R_L = 54 \text{ O}_M$				
Изменение выходного синфазного напряжения				
передатчика, В,	<b>A T</b> T		0,2	
при: $R_L = 100 \text{ OM};$	$\Delta U_{OC}$	_	0,2	
$R_L = 54 \text{ Om}$				
Выходное напряжение высокого уровня приемника,				
В,	$U_{\mathrm{OH}}$	$U_{CC} - 0,6$	_	
при: $I_{OH} = -1 \text{ мA}$				25
Выходное напряжение низкого уровня приемника, В,	U <sub>OL</sub>		0,4	25,
при: $I_{OL} = 1$ мА	OOL	_	0,4	125,
Ток потребления, мА,				- 60
при: $U_{nRE} = 0 B$ , $U_{DE} = U_{CC}$ , без нагрузки	Inc		1,8	
$U_{nRE} = U_{CC}, \ U_{DE} = U_{CC},$ без нагрузки	$I_{CC}$	_	1,0	
$U_{nRE} = 0 B,  U_{DE} = 0 B$				
Ток потребления в состоянии «Выключено», мкА				
(приемник и передатчик выключены),	$I_{SHDN}$	_	20	
при: $U_{nRE} = U_{CC}$ , $U_{DE} = 0$ В				
Входной ток высокого/низкого уровня, мкА,	$I_{\mathrm{IH}}$	- 1	1	
на выводах nRE, DE и DI	${ m I}_{ m IL}$	- 1	1	
Ток утечки на входе приемника, мкА	$I_{L\_R}$	- 100	125	
Ток короткого замыкания выхода передатчика, мА,				
при: $7 \text{ B} \le U_{AY}(U_{BZ}) \le 12 \text{ B}$	$I_{OS\_D}$	40	250	
при: $-7 \text{ B} \le U_{AY}(U_{BZ}) \le 0$		- 250	- 40	
Минимальный ток короткого замыкания передатчика,	_			
мA,	I			
при: $U_{CC} - 1 B \le U_{AY}(U_{BZ}) \le 12 B$	$I_{OSF\_D}$	40		
при: $-7 \text{ B} \le U_{AY}(U_{BZ}) \le 1 \text{ B}$		_	<b>-40</b>	
		1		

Наименование параметра,	ное зние гра	Норма па	раметра	rypa °C
единица измерения, режим измерения	Буквенное обозначение параметра	не менее	не более	Температура среды, °С
Выходной ток приемника в состоянии «Выключено», мкА	I <sub>OZ_R</sub>	- 1	1	
Ток короткого замыкания выхода приемника, мA, при: $0 \text{ B} \leq U_{RO} < U_{CC}$	I <sub>OS_R</sub>	-110	110	
Время задержки распространения сигнала приемника при включении/выключении, нс	t <sub>PLH_R</sub> t <sub>PHL_R</sub>	_	60	
Разность задержек распространения сигнала приемника, нс, $ t_{PLH\_R} - t_{PHL\_R} $	t <sub>SKEW_R</sub>	_	30	
Время задержки распространения сигнала приемника при переходе из состояния «Выключено» в состояние высокого/низкого уровня, мкс, при: $U_{DE}=0$ В (передатчик выключен)	tpzh_r(shdn) tpzl_r(shdn)	_	5,5	
Время задержки распространения сигнала передатчика при переходе из состояния «Выключено» в состояние высокого/низкого уровня, нс, при: Unre= 0 В (приемник включен)	t <sub>PZH_D</sub>	-	2500	25,
Время задержки распространения сигнала передатчика при переходе из состояния высокого/низкого уровня в состояние «Выключено», нс, при: U <sub>nRE</sub> = 0 В (приемник включен)	t <sub>PHZ_D</sub>	_	100	125, - 60
Время задержки распространения сигнала передатчика при переходе из состояния «Выключено» в состояние высокого/низкого уровня, мкс, при: $U_{nRE} = U_{CC}$ (приемник выключен)	tpzh_d(shdn) tpzk_d(shdn)	_	5,5	
Время задержки распространения сигнала передатчика при включении/ выключении, нс, при: $C_L = 50 \pi \Phi$ , $R_L = 54 \text{ Om}$	t <sub>PLH_D</sub> t <sub>PHL_D</sub>	25	200	
Разность задержек распространения сигнала передатчика, нс,  tplh_D - tphl_D	t <sub>SKEW_D</sub>	_	80	
Время нарастания/спада дифференциального выходного напряжения передатчика, нс, при: $C_L = 50 \text{ п}\Phi$ , $R_L = 54 \text{ Om}$	t <sub>r</sub>	25	200	

Микросхемы должны быть устойчивы к воздействию статического электричества с потенциалом не менее  $2\,000~\mathrm{B}.$ 

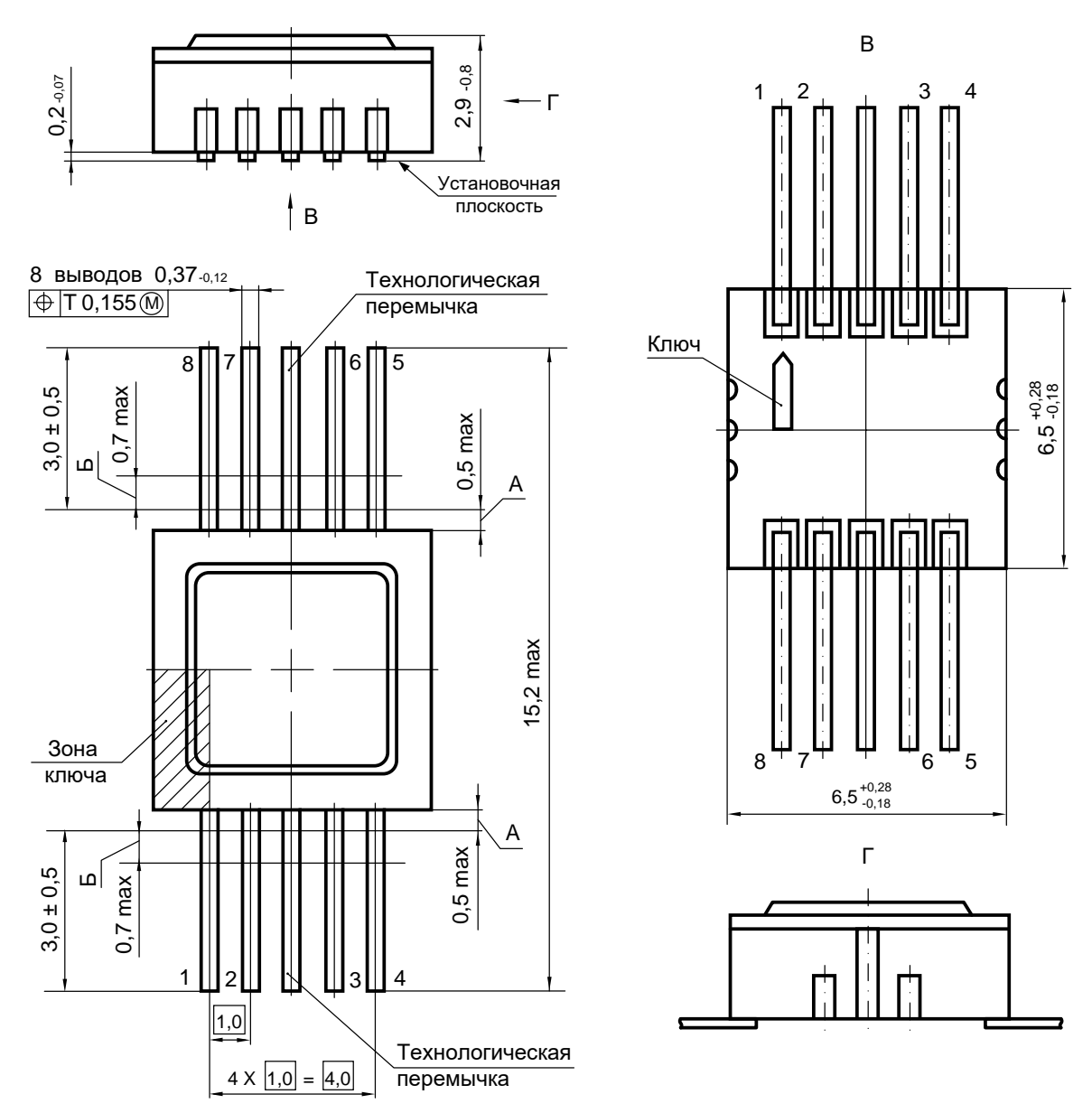
## 10 Предельно-допустимые характеристики микросхемы

Таблица 5 – Предельно-допустимые и предельные режимы эксплуатации микросхем

	Буквенное обозначение параметра	Норма параметра				
Наименование параметра, единица измерения		Предельно- допустимый режим		Предельный режим		
	р 90 п	не менее	не более	не менее	не более	
Напряжение источника питания, В	Ucc	4,5	5,5	_	6,0	
Входное напряжение низкого уровня, В	U <sub>IL</sub>	0	0,8	- 0,3	_	
Входное напряжение высокого уровня, В	U <sub>IH</sub>	2,4	Ucc	_	$U_{CC} + 0,3$	
Входное напряжение приемника, В	U <sub>I_R</sub>	<b>-7</b>	12	-8	13	
Дифференциальное пороговое напряжение приемника, мВ, при: $-7B < U_{I_R} < 12 \ B$	$U_{\mathrm{TH}}$	- 200	- 50	_	_	
Выходной ток высокого уровня, мА, на выходе приемника	Іон	- 1,0	_	-4,0	_	
Выходной ток низкого уровня, мА, на выходе приемника	$I_{OL}$	_	1,0	-	4,0	
Скорость передачи данных, Кбит/с	$f_{ m DR}$	_	2500	_	_	

Примечание – Не допускается одновременное воздействие нескольких предельных режимов

## 11 Габаритный чертеж



- 1. А зона не контролируемая по толщине и ширине вывода.
- 2. Б длина вывода, в пределах которой производится контроль смещения плоскостей симметрии выводов от номинального расположения.
- 3. Форма ключа не регламентируется.
- 4. Нумерация выводов показана условно.

Рисунок 23 – Габаритный чертеж микросхемы в корпусе Н02.8-1В

## 12 Информация для заказа

Обозначение	Маркировка	Тип корпуса	Температурный диапазон, °С
К5559ИН26У	34075	H02.8-1B	от -60 до 125

Условное обозначение микросхем при заказе в договоре на поставку и в конструкторской документации другой продукции должно состоять из:

- наименование изделия микросхема;
- обозначения типа (типономинала);
- обозначения технических условий ТСКЯ.431000.002ТУ;
- обозначения спецификации ТСКЯ.431323.046СП.

Пример обозначения микросхем:

Микросхема К5559ИН26У — ТСКЯ.431000.002ТУ, ТСКЯ.431323.046СП.

# 13 Лист регистрации изменений

<b>№</b> п/п	Дата	Версия	Краткое содержание изменения	№№ изменяемых листов
1	23.04.2025	1.0.0	Введена впервые	
2	23.07.2025	1.0.1	Добавлены рисунки $8-22$ в раздел $8$ ; Таблица $5-$ добавлен параметр $I_{OH}$ , $I_{OL}$	10 – 17 20